



Exemple de présentation beamer -  $\LaTeX$  :  
début d'un séminaire sur la modélisation de la turbulence pour la CFD

Emmanuel Plaut

## 1 Motivations - Approche RANS :

exemples & **problèmes** révélés par des **tests a priori** utilisant une base de données DNS

## 2 Conclusion

## 1 Motivations :

les écoulements turbulents sont omniprésents dans la nature et l'industrie...

Ils impliquent des **fluctuations de très petites échelles spatiales et temporelles**

⇒ **DNS et même LES impossibles**

⇒ **besoin de modèles de turbulence pour la CFD !**

**1 Motivations : équations des modèles de turbulence pour la CFD**  
**très souvent construites à partir d'analyses physico - dimensionnelles,**  
 **dans le brouillard pour les modèles les plus anciens !**  
**Approche plus systématique possible,**  
 **au vu des progrès réalisés en expérimentations et DNS ?**

**1 Motivations : équations des modèles de turbulence pour la CFD**  
très souvent construites à partir d'analyses physico - dimensionnelles,  
**dans le brouillard pour les modèles les plus anciens !**  
Approche plus systématique possible,  
au vu des progrès réalisés en expérimentations et DNS ?

## Ici, approche RANS : bases, exemples, questions & problèmes

- 1.1 Moyenne de Reynolds, Hypothèse de viscosité turbulente de Boussinesq (1870s)
- 1.2 **Énergie cinétique turbulente  $k$ , dissipation turbulente  $\epsilon$**  (1970s)

Launder & Spalding 1974 modèle  $k - \epsilon$  : **tests a priori** avec la base de données DNS de Lee & Moser 2015 :  
équation de  $k$  ok! **mais** équation de  $\epsilon$  mauvaise !

## 1.1 Approche RANS : équation de $\mathbf{V}$ - Modèles à viscosité turbulente

- **Décomposition de Reynolds** : champs de vitesse et pression : **moyenne** + **fluctuations** :

$$\underbrace{v_i}_{\text{composante de vitesse}} = \underbrace{\bar{v}_i}_{\text{moyenne } V_i} + \underbrace{u_i}_{\text{fluctuations}}$$

$$\underbrace{p}_{\text{pression}} = \underbrace{\bar{p}}_{\text{moyenne } P} + \underbrace{\tilde{p}}_{\text{fluctuations}}$$

- Insertion dans l'équation de Navier-Stokes :

$$\rho[\partial_t v_i + \partial_{x_j}(v_i v_j)] = \partial_{x_j}(\sigma_{ij}) = -\partial_{x_i} p + \partial_{x_j}(\tau_{ij})$$

avec le **tenseur des contraintes visqueuses**  $\tau_{ij} = 2\mu D_{ij}(\mathbf{v})$  partie de  $\sigma_{ij} = -p\delta_{ij} + 2\mu D_{ij}(\mathbf{v})$ ,

$\mu$  viscosité dynamique,  $D_{ij}(\mathbf{v}) = \frac{1}{2}(\partial_{x_j} v_i + \partial_{x_i} v_j) =$  **tenseur des taux de déformation.**

**Prise de moyenne...** Comme  $\overline{v_i v_j} = \bar{v}_i \bar{v}_j + \overline{u_i u_j} \rightarrow$  **équation RANS exacte :**

$$\rho[\partial_t V_i + \partial_{x_j}(V_i V_j)] = -\partial_{x_i} P + \partial_{x_j}(2\mu S_{ij}(\mathbf{V})) + \partial_{x_j}(\tau_{ij}) \quad (\text{Veq})$$

avec le **tenseur des contraintes de Reynolds**  $\tau_{ij} = -\rho \overline{u_i u_j} = -\rho \text{covariance}(v_i v_j)$

$\longleftrightarrow$  **influence des fluctuations turbulentes sur le champ moyen.**

## 1.1 Approche RANS : équation de $\mathbf{V}$ - Modèles à viscosité turbulente

- Équation de Navier-Stokes

$$\rho[\partial_t v_i + \partial_{x_j}(v_i v_j)] = -\partial_{x_i} p + \partial_{x_j}(\tau_{ij})$$

avec le **tenseur des contraintes visqueuses**  $\tau_{ij} = 2\mu D_{ij}(\mathbf{v})$  partie de  $\sigma_{ij} = -p\delta_{ij} + 2\mu D_{ij}(\mathbf{v})$ ,

→ **équation RANS exacte**  $\rho[\partial_t V_i + \partial_{x_j}(V_i V_j)] = -\partial_{x_i} P + \partial_{x_j}(2\mu S_{ij}(\mathbf{V})) + \partial_{x_j}(\tau_{ij})$  (Veq)

avec le **tenseur des contraintes de Reynolds**  $\tau_{ij} = -\rho \overline{u_i u_j} = -\rho \text{covariance}(v_i v_j)$

$k = \frac{1}{2} \overline{u_i u_i}$  = **énergie cinétique turbulente** (massique) = 0 à la paroi

## 1.1 Approche RANS : équation de $\mathbf{V}$ - Modèles à viscosité turbulente

- Équation de Navier-Stokes

$$\rho[\partial_t v_i + \partial_{x_j}(v_i v_j)] = -\partial_{x_i} p + \partial_{x_j}(\tau_{ij})$$

avec le **tenseur des contraintes visqueuses**  $\tau_{ij} = 2\mu D_{ij}(\mathbf{v})$  partie de  $\sigma_{ij} = -p\delta_{ij} + 2\mu D_{ij}(\mathbf{v})$ ,

→ **équation RANS exacte**  $\rho[\partial_t V_i + \partial_{x_j}(V_i V_j)] = -\partial_{x_i} P + \partial_{x_j}(2\mu S_{ij}(\mathbf{V})) + \partial_{x_j}(\tau_{ij})$  (Veq)

avec le **tenseur des contraintes de Reynolds**  $\tau_{ij} = -\rho \overline{u_i u_j} = -\rho \text{covariance}(v_i v_j)$

- **Hypothèse de viscosité turbulente :**

« loi de comportement » des écoulements turbulents « isotropes » :

$$\tau_{ij} = -\frac{2}{3}\rho k\delta_{ij} + 2\mu_t S_{ij}(\mathbf{V})$$

avec  $\mu_t$  **viscosité turbulente** dynamique,  $k = \frac{1}{2}\overline{u_i u_i}$  = **énergie cinétique turbulente** (massique) = 0 à la paroi

## 1.1 Approche RANS : équation de $\mathbf{V}$ - Modèles à viscosité turbulente

- Équation de Navier-Stokes

$$\rho[\partial_t v_i + \partial_{x_j}(v_i v_j)] = -\partial_{x_i} p + \partial_{x_j}(\tau_{ij})$$

avec le **tenseur des contraintes visqueuses**  $\tau_{ij} = 2\mu D_{ij}(\mathbf{v})$  partie de  $\sigma_{ij} = -p\delta_{ij} + 2\mu D_{ij}(\mathbf{v})$ ,

→ **équation RANS exacte** 
$$\rho[\partial_t V_i + \partial_{x_j}(V_i V_j)] = -\partial_{x_i} P + \partial_{x_j}(2\mu S_{ij}(\mathbf{V})) + \partial_{x_j}(\tau_{ij}) \quad (\text{Veq})$$

avec le **tenseur des contraintes de Reynolds**  $\tau_{ij} = -\rho \overline{u_i u_j} = -\rho \text{covariance}(v_i v_j)$

- **Hypothèse de viscosité turbulente :**

« loi de comportement » des écoulements turbulents « isotropes » :

$$\tau_{ij} = -\frac{2}{3}\rho k \delta_{ij} + 2\mu_t S_{ij}(\mathbf{V})$$

avec  $\mu_t$  **viscosité turbulente** dynamique,  $k = \frac{1}{2} \overline{u_i u_i}$  = **énergie cinétique turbulente** (massique) = 0 à la paroi

→ **équation RANS modèle** 
$$\rho[\partial_t V_i + \partial_{x_j}(V_i V_j)] = -\partial_{x_i} ( P + \underbrace{\frac{2}{3}\rho k}_{\text{effet Bernoulli turbulent}} ) + 2\partial_{x_j} [ ( \mu + \underbrace{\mu_t}_{\text{mélange ou transport turbulent}} ) D_{ij}(\mathbf{V}) ]$$

effet  
Bernoulli  
turbulent

mélange  
ou transport  
turbulent

## 1.2 Approche RANS : équation de $k$

- Équation de  $k$  exacte :

$$\partial_t k + V_j \partial_{x_j} k = \partial_{x_j} (\nu \partial_{x_j} k) - \partial_{x_j} \left( \frac{1}{\rho} \overline{p' u_j} + \frac{1}{2} \overline{u_i u_i u_j} \right) + (\partial_{x_j} V_i) \frac{\tau_{ij}}{\rho} - \epsilon \quad (\text{keq})$$

avec la viscosité cinématique  $\nu = \mu/\rho$ , la **dissipation turbulente**  $\epsilon = \nu \overline{(\partial_{x_j} u_i)(\partial_{x_j} u_i)}$ .

## 1.2 Approche RANS : équation de $k$

- Équation de  $k$  exacte :

$$\partial_t k + V_j \partial_{x_j} k = \partial_{x_j} (\nu \partial_{x_j} k) - \partial_{x_j} \left( \frac{1}{\rho} \overline{p' u_j} + \frac{1}{2} \overline{u_i u_i u_j} \right) + (\partial_{x_j} V_i) \frac{\tau_{ij}}{\rho} - \epsilon \quad (\text{keq})$$

avec la viscosité cinématique  $\nu = \mu/\rho$ , la **dissipation turbulente**  $\epsilon = \nu \overline{(\partial_{x_j} u_i)(\partial_{x_j} u_i)}$ .

- **Hypothèse de viscosité turbulente** → avant dernier terme de droite dans (keq) est **terme de production** :

$$P_k = (\partial_{x_j} V_i) \frac{\tau_{ij}}{\rho} = 2\nu_t S_{ij}(\mathbf{V}) S_{ij}(\mathbf{V}) > 0$$

avec  $\nu_t = \mu_t/\rho =$  **viscosité turbulente cinématique**...

## 1.2 Approche RANS : équation de $k$

- Équation de  $k$  exacte :

$$\partial_t k + V_j \partial_{x_j} k = \partial_{x_j} (\nu \partial_{x_j} k) - \partial_{x_j} \left( \frac{1}{\rho} \overline{p' u_j} + \frac{1}{2} \overline{u_i u_i u_j} \right) + (\partial_{x_j} V_i) \frac{\tau_{ij}}{\rho} - \epsilon \quad (keq)$$

avec la viscosité cinématique  $\nu = \mu/\rho$ , la **dissipation turbulente**  $\epsilon = \nu \overline{(\partial_{x_j} u_i)(\partial_{x_j} u_i)}$ .

- **Hypothèse de viscosité turbulente** → avant dernier terme de droite dans (keq) est **terme de production** :

$$P_k = (\partial_{x_j} V_i) \frac{\tau_{ij}}{\rho} = 2\nu_t S_{ij}(\mathbf{V}) S_{ij}(\mathbf{V}) > 0$$

avec  $\nu_t = \mu_t/\rho =$  **viscosité turbulente cinématique**...

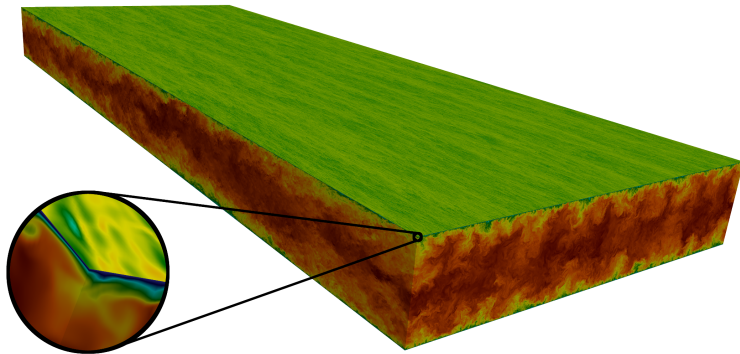
aussi utilisée pour modéliser les **couplages pression - vitesse** et les **moments d'ordre 3** dans (keq) :

$$-\partial_{x_j} \left( \frac{1}{\rho} \overline{p' u_j} + \frac{1}{2} \overline{u_i u_i u_j} \right) = \partial_{x_j} (\nu_t \partial_{x_j} k)$$

→ **Équation modèle standard de  $k$**  :  $\partial_t k + V_j \partial_{x_j} k = \partial_{x_j} [(\nu + \nu_t) \partial_{x_j} k] + P_k - \epsilon$ . (keq)

## 1.2 Équation modèle standard de $k$ testée sur les DNS en canal plan de Lee & Moser 2015

- Base ouverte sur le web : galerie et champs moyens sur <https://turbulence.oden.utexas.edu>
- 5 cas pour 5 valeurs du nombre de Reynolds  $Re_\tau$  basé sur la vitesse de frottement
- Visu du cas 5 à haut  $Re_\tau = 5200$  :



## Conclusion

- Sur la science : ce contenu ressemble au début de séminaires que j'ai donnés au printemps 2022...  
Je ne mets pas tout sur le web, disons que c'est « confidentiel » 😞
- Sur  $\text{\LaTeX}$  : à vous de jouer maintenant 😊